

九州大学工学部 正会員 高海克彦
 フ フ 正会員 彦坂 黒
 フ フ 学生員 平田 洋

1. 緒言 懸垂型モノレールの軌道桁は、図1のように、直線および曲線の薄肉開断面ばりを横方向フレームで補剛して特殊構造である。この構造は、断面変形が避けられず、走行レールを兼ねる構造上に直接輸荷重がかからため、荷重直下の付加応力を極めて大きくなる。本研究は、曲げねじり理論を修正することにより、断面変形やこれに伴う付加応力を直接把握する解法を示し、模型実験により検証するものである。

2. 断面変形の発生機構

本解法における断面変形は、薄肉多角形断面ばりを形成する図2のような薄板の接合点(節点)における反時計回りの相対回転角 θ_i で定義する。n枚の薄板からなるばりの断面変形の自由度はn-3である。

図3のように、円柱座標系(ζ, R, α)と、断面の圓心を原点とする x, y 座標系を考える。 x, y 軸は各々R, ζ 軸に平行に定め、さらに断面の板厚中心線に沿って ζ 座標を設ける。いま、図4のようなりの微小要素を考える。図中 g_B , g_B は曲げねじり理論により既知の直応力とせん断流であり、 P_s, P_n は単位面積当たりの外力の接線および法線方向成分である。すなわち P_s は、断面変形を防ぐために働くべき単位面積当たりの力の接線および法線方向成分とする。断面変形が生ずるばりには、この P_s, P_n が作用していないので、法線の x 軸となす角を β として、微小要素の力のつりあいから得られる

$$\begin{aligned} -f_s &= P_s + \frac{Gt}{R} \sin \beta + \frac{1}{R} \frac{\partial}{\partial \zeta} g_B \\ -f_n &= P_n - \frac{Gt}{R} \cos \beta \end{aligned} \quad \left. \right\} (1)$$

を外力として与えることにより、断面変形とそれに伴う付加応力が発生する。

3. 断面変形による横方向曲げモーメント

図5のように、薄肉ばりの軸直角方向に一定間隔Cで配置される補剛フレームを、図中のハッチ部の断面を有するラーメンとして扱う。断面変形により、このラーメンには次式で表わされる曲げモーメントMが生ずる。

$$M = \sum_{i=1}^{n-3} M_i \theta_i(\zeta) \quad (2)$$

ここに、 M_i は $\theta_i=1$ のときにラーメンに生ずる曲げモーメントである。

4. 断面変形に伴うばり軸方向垂直応力

図6のようなり枚の薄板からなる開断面ばりのせん断中心をS, 节点iの x, y 座標を α_i とする。断面変形に伴う任意点Pの x 方向変位は、せん断中心の x, y 方向剛体付加変位 $u_i(\zeta), v_i(\zeta)$ と付加ねじり角 $\theta_i(\zeta)$ とn-3個の断面変形 $\theta_i(\zeta)$ によって次式で表わされる。

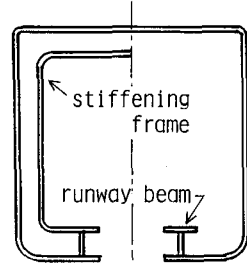


図2

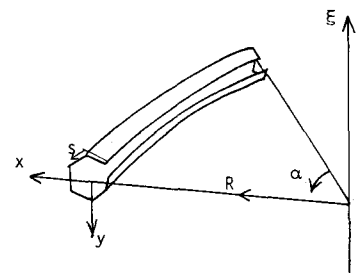


図3

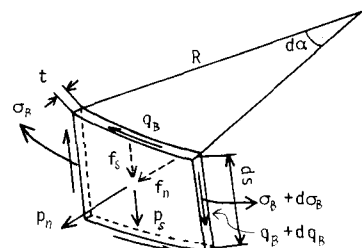


図4

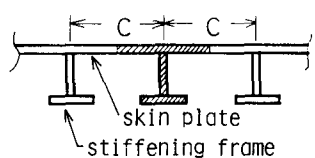


図5

$$\eta = -U_0 \sin \beta + U_0 \cos \beta + U_0 \phi_0 + \sum_{k=1}^{n-2} \phi_k \delta \theta_k \quad (3)$$

ここに, R_s , η は点 P の基線にせん断中心 S および節点 i から下した垂線の長さであり, また $\mu_i = \begin{cases} 1 & (A \leq A_i) \\ 0 & (A > A_i) \end{cases}$ (4)

はり軸線の曲率半径をせん断中心 S の R_s で代表させれば, 点 P の軸方向変位は、薄板中央面のせん断ひずみ無視の仮定から

$$W = W_0 - x \frac{U_0}{R_s} - y \frac{V_0}{R_s} + \omega_n \left(\frac{\phi'_0}{R_s} - \frac{U_0}{R_s} \right) + \sum_{k=1}^{n-2} \phi_k \frac{\delta \theta_k}{R_s} \quad (5)$$

ここに, W_0 は x の任意関数, ω_n はせん断中心を極とする正規化されたねじりの単位モリ関数。また $\bar{\omega}_n = \int \mu_i r_i dA$ 。

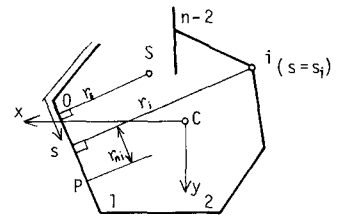


図 6

断面変形に伴うはり軸方向垂直直付加応力 σ_θ は、付加ひずみを ϵ_θ , ヤング係数を E として次式で表わされる。

$$\sigma_\theta = E \epsilon_\theta = E \left(\frac{\partial W}{\partial x} + u \right) / R_s \quad (6)$$

σ_θ は自己平衡応力であるから

$$\int \sigma_\theta dA = 0, \int \sigma_\theta x dA = 0, \int \sigma_\theta y dA = 0, \int \sigma_\theta w_n dA = 0 \quad (7)$$

を満たさねばならず、この条件から式(5)の U_0 , U'_0 , V'_0 , ϕ'_0 が消去され、結局 η は次式で表わされる。

$$\eta = E \sum_{k=1}^{n-2} \left(\phi_k(A) \frac{\delta \theta_k}{R_s} - \phi'_k(A) \frac{\delta \theta_k}{R_s} \right) \quad (8)$$

ここに、 ϕ_k および ϕ'_k は断面変形の単位モリ関数と定義され、各々次のように表わされる。

$$\phi_k = \bar{\omega}_n - \frac{1}{A} \int \bar{\omega}_n dA - \frac{x}{I_x} \int \bar{\omega}_n x dA - \frac{y}{I_y} \int \bar{\omega}_n y dA - \frac{\omega_n}{I_{xy}} \int \bar{\omega}_n w_n dA \quad (9)$$

$$\phi'_k = (y - y_i) \mu_i - \frac{1}{A} \int (y - y_i) \mu_i dA - \frac{x}{I_x} \int (y - y_i) x \mu_i dA - \frac{y}{I_y} \int (y - y_i) y \mu_i dA - \frac{\omega_n}{I_{xy}} \int (y - y_i) w_n \mu_i dA \quad (10)$$

A, I_x , I_y は各々断面積, x 軸および y 軸に関する断面二次モーメントで, I_{xy} はモリねじり定数である。

5. つりあい式

断面変形を起こす外力として式(1)の $-f_j$, $-f_{ij}$ のみを、また断面変形により生ずる内力を式(2)の M と式(8)の η のみを考える。フレームの総数を K, その j番目の取付位置の y 座標を y_j とするとき、任意の断面変形 $\delta \theta_j$ ($j=1, 2, \dots, n-3$) に対して仮想仕事の原理から、次のように $n-3$ 個のつりあい方程式が得られる。

$$\sum_{j=1}^{n-3} \left\{ E \left(\frac{1}{R_s} I_{ij} \phi''_j \delta \theta_j - \frac{1}{R_s} J_{ij} \phi'_j \delta \theta_j - \frac{1}{R_s} J_{ij} \phi_j \delta \theta_j'' + \frac{1}{R_s} K_{ij} \phi_j \delta \theta_j \right) R_s dA + \sum_{k=1}^K f_{ij} \phi_j dA \right\} - R_s \int_{y_j}^y (P_j + p_j) \delta \theta_j dA = 0 \quad (11)$$

ここに, $I_{ij} = \int \phi_i \phi_j dA$, $J_{ij} = \int \phi_i \phi_j dA$, $K_{ij} = \int \phi_i \phi_j dA$, $f_{ij} = \int \frac{M_{ij}}{E I_s} dA$, $P_j = \int (P_0 + \frac{1}{R_s} \delta \theta_j) y_j - p_0 y_j \phi_j dA$, $p_j = \int p_0 \frac{(y - y_j)}{R_s} \phi_j dA$, $\delta \theta_j$ は補剛フレームの断面二次モーメント, y_j は節点 j から点 P の法線に下した垂線の長さ, 重は開角。

6. 実験および解析結果

図 7 は、曲率半径 4 m, 開角 0.5 度, 板厚 0.23 cm で、桁高および桁幅が 15 cm の鋼製の模型桁の支間中央縦桁上に、P = 300 kg を載荷したときの縦桁下フランジのはり軸方向応力の実験値および本法による解を示したものである。外曲側および内曲側の応力形状と荷重直下の大きな局部応力が本法により十分把握されている。

参考文献

彦坂、高海：第33回応用力学連合講演会講演論文抄録集
(昭和58年12月)

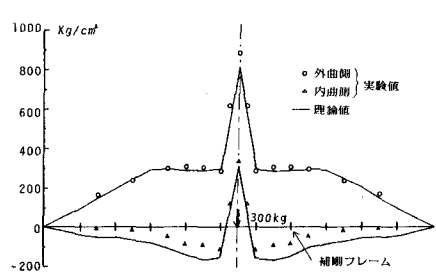


図 7 縦桁の応力